

УДК 539.3

## НЕКОТОРЫЕ ОСОБЕННОСТИ ВОЛНОВЫХ ПРОЦЕССОВ В ЦИЛИНДРИЧЕСКОЙ ОБОЛОЧКЕ С ВИНТОВОЙ АНИЗОТРОПИЕЙ<sup>1</sup>

Богаченко С. Е.<sup>2</sup>, Устинов Ю. А.<sup>3</sup>

### SOME CHARACTERISTICS OF WAVE PROCESSES IN A CYLINDRICAL SHELL WITH HELICAL ANISOTROPY

Bogachenko S. E., Ustinov Yu. A.

The work is aimed to develop basic relationships for a cylindrical shell with helical anisotropy based on the Kirchhoff-Love hypotheses and study the characteristics of wave processes. The proposed theory can be used to describe helical motion of blood in arterial vessels.

В [1–4] получены основные соотношения теории упругости для тел с винтовой анизотропией. Данная работа посвящена построению основных соотношений для цилиндрической оболочки с винтовой анизотропией на основе гипотез Кирхгоффа-Лява и исследованию на их основе особенностей волновых процессов. Предлагаемая теория может быть использована для описания винтового движения крови в артериальных сосудах — явления, которое было открыто новосибирскими учеными [5].

#### 1. Основные соотношения теории упругости и постановка задачи для цилиндра с винтовой анизотропией

Для построения соотношений обобщенного закона Гука в случае винтовой анизотропии будем рассматривать кровеносный сосуд как полый упругий цилиндр [2].

Рассмотрим тело, занимающее объем  $V = S \times [0, L]$ , где  $S$  — поперечное сечение цилиндра,  $L$  — его длина. Боковую поверхность обозначим через  $\Gamma = \partial S \times [0, L]$ , где  $\partial S$  — граница  $S$ . Далее  $S$  — кольцо с внутренним и внешним радиусами  $r_1, r_2$  соответственно.

Введем декартовую систему координат  $x_1, x_2, x_3$ , связав ее начало с одним из торцов цилиндра. Ось  $x_3 = z$  направим по оси цилиндра. Эту систему координат будем называть

основной. Для описания винтовой анизотропии введем винтовую систему координат  $r, \theta, z$ , связанную с основной соотношениями

$$x_1 = r \cos(\theta + \tau z), \quad x_2 = r \sin(\theta + \tau z), \quad x_3 = z.$$

Здесь и ниже предполагается, что  $\tau = \text{const}$ .

С винтовой линией  $r = \text{const}, \theta = \text{const}$  свяжем естественный базис  $e_1 = n, e_2 = b, e_3 = t$  (здесь  $n, b, t$  — орты главной нормали, бинормали и касательной соответственно).

Радиус-вектор точек винтовой линии представим в виде

$$R = r e'_1 + z e'_3,$$

где

$$\begin{aligned} e'_1 &= e_r = i_1 \cos(\theta + \tau z) + i_2 \sin(\theta + \tau z), \\ e'_2 &= e_\theta = -i_1 (\sin \theta + \tau z) + i_2 (\cos \theta + \tau z), \\ e'_3 &= e_z. \end{aligned}$$

Используя формулы

$$\begin{aligned} \frac{dR}{ds} &= t, \quad \frac{dt}{ds} = k \times n, \quad ds = g dz, \\ g^2 &= (1 + x^2), \quad x = r\tau, \end{aligned}$$

где  $k = \frac{r\tau^2}{g^2}$  — кривизна винтовой спирали, получаем ортогональную матрицу перехода от базиса  $e_j$  к базису  $e'_j$

$$Q = \begin{pmatrix} -1 & 0 & 0 \\ 0 & -1/g & x/g \\ 0 & x/g & 1/g \end{pmatrix}.$$

<sup>1</sup>Работа выполнена при финансовой поддержке РФФИ (04-01-00069).

<sup>2</sup>Богаченко Сергей Евгеньевич, аспирант кафедры теории упругости Ростовского государственного университета.

<sup>3</sup>Устинов Юрий Анатольевич, заслуженный деятель науки РФ, д-р физ.-мат. наук, профессор кафедры теории упругости Ростовского государственного университета.

Будем считать материал цилиндра локально ортотропным, у которого главное направление осей тензора упругих свойств совпадает с направлением ортов естественного базиса. Для обобщенного закона Гука будем использовать матричную форму записи между напряжениями и деформациями

$$e_i = a_{ij}\sigma_j, \quad a_{ij} = a_{ji},$$

$$\sigma_i = c_{ij}e_j, \quad c_{ij} = c_{ji}, \quad i, j = 1, \dots, 6.$$

Здесь

$$e_1 = e_{11}, \quad e_2 = e_{22}, \quad e_3 = e_{33},$$

$$e_4 = e_{23}, \quad e_5 = e_{13}, \quad e_6 = e_{12},$$

$$\sigma_1 = \sigma_{11}, \quad \sigma_2 = \sigma_{22}, \quad \sigma_3 = \sigma_{33},$$

$$\sigma_4 = \sigma_{23}, \quad \sigma_5 = \sigma_{13}, \quad \sigma_6 = \sigma_{12},$$

$e_{ij}, \sigma_{ij}$  — компоненты тензоров малых деформаций и напряжений соответственно.

Элементы матрицы  $A$  называются податливостями. В случае простой анизотропии (для ортотропных, трансверсально-изотропных материалов)  $a_{ij}$  выражаются через независимые технические постоянные:  $E_i, G_{ij}, \nu_{ij}$  — модули Юнга, модули сдвига и коэффициенты Пуассона (которые определяются экспериментально) простыми формулами [6]

$$a_{11} = \frac{1}{E_1}, \quad a_{12} = -\frac{\nu_{12}}{E_1}, \quad a_{13} = -\frac{\nu_{13}}{E_1},$$

$$a_{22} = \frac{1}{E_2}, \quad a_{23} = -\frac{\nu_{23}}{E_2}, \quad a_{33} = \frac{1}{E_3},$$

$$a_{44} = \frac{1}{G_{23}}, \quad a_{55} = \frac{1}{G_{13}}, \quad a_{66} = \frac{1}{G_{12}},$$

$$a_{15} = a_{16} = a_{14} = a_{24} = a_{25} = a_{26} = \\ = a_{34} = a_{35} = a_{36} = a_{45} = a_{46} = a_{56} = 0.$$

В результате перехода от основного базиса  $e_j$  к  $e'_j$  получаем соотношения обобщенного закона Гука в винтовой системе координат

$$e_{rr} = a'_{11}\sigma_{rr} + a'_{21}\sigma_{\theta\theta} + a'_{31}\sigma_{zz} + a'_{41}\sigma_{\theta z},$$

$$e_{\theta\theta} = a'_{12}\sigma_{rr} + a'_{22}\sigma_{\theta\theta} + a'_{32}\sigma_{zz} + a'_{42}\sigma_{\theta z},$$

$$e_{zz} = a'_{13}\sigma_{rr} + a'_{23}\sigma_{\theta\theta} + a'_{33}\sigma_{zz} + a'_{43}\sigma_{\theta z}, \quad (1.1)$$

$$e_{\theta z} = a'_{14}\sigma_{rr} + a'_{24}\sigma_{\theta\theta} + a'_{34}\sigma_{zz} + a'_{44}\sigma_{\theta z},$$

$$e_{rz} = a'_{55}\sigma_{rz} + a'_{56}\sigma_{r\theta},$$

$$e_{r\theta} = a'_{56}\sigma_{rz} + a'_{66}\sigma_{r\theta},$$

где

$$a'_{11} = a_{11}, \quad a'_{12} = \frac{a_{12} + x^2 a_{13}}{g^2},$$

$$a'_{13} = \frac{a_{13} + x^2 a_{12}}{g^2}, \quad a'_{14} = \frac{-2x(a_{12} - x^2 a_{13})}{g^2},$$

$$a'_{22} = \frac{a_{22} + x^2 a_{23} + x^4 a_{33} + x^2 a_{44}}{g^2},$$

$$a'_{23} = \frac{x^2(a_{22} + a_{33} - a_{44}) + (1 + x^4)a_{23}}{g^4},$$

$$a'_{24} = \frac{x[2(a_{23} - a_{33}) + 2x^2(a_{33} - a_{23})]}{g^4} + \\ + \frac{(1 - x^2)a_{44}x}{g^4},$$

$$a'_{33} = \frac{a_{33} + 2x^2(a_{33} + x^4 a_{22} + x^2 a_{44})}{g^4},$$

$$a'_{34} = \frac{x[2(a_{33} - a_{23}) + 2x^2(a_{33} - a_{22})]}{g^4} - \\ - \frac{(1 - x^2)a_{44}x}{g^4},$$

$$a'_{44} = \frac{(1 - x^2)^2 a_{44} + 4x^2(a_{22} - 2a_{23} + a_{33})}{g^4},$$

$$a'_{55} = \frac{a_{55} + x^2 a_{56}}{g^2}, \quad a'_{56} = \frac{x(a_{55} - a_{66})}{g^2},$$

$$a'_{66} = \frac{(x^2 a_{55} + a_{66})}{g^2}, \quad a'_{ij} = a'_{ij}.$$

Компоненты тензора деформаций в базисе сопутствующей системы координат выражаются через смещения  $u_r, u_\theta, u_z$  формулами

$$e_{rr} = \frac{\partial u_r}{\partial r}, \quad e_{\theta\theta} = \frac{u_r}{r} + \frac{\partial u_\theta}{r \partial \theta}, \quad e_{zz} = \frac{\partial u_z}{\partial z} - \tau \frac{\partial u_z}{\partial \theta},$$

$$2e_{r\theta} = \frac{\partial u_\theta}{\partial r} + \frac{\partial u_r}{r \partial \theta} - \frac{u_\theta}{r},$$

$$2e_{rz} = \frac{\partial u_z}{\partial r} + \frac{\partial u_r}{\partial z} - \tau \frac{\partial u_r}{\partial \theta},$$

$$2e_{z\theta} = \frac{\partial u_z}{\partial \theta} + \frac{\partial u_\theta}{\partial z} - \tau \frac{\partial u_\theta}{\partial \theta}.$$

## 2. Цилиндрическая оболочка с винтовой анизотропией

Построение основных соотношений для цилиндрической оболочки осуществляются на основе гипотез Кирхгоффа–Лява. Будем использовать вариант лианеризованных уравнений, в которых учитывается, что стенка сосуда предварительно напряжена в продольном и окружном направлениях. Ограничимся осесимметричным случаем.

Обращаясь к соотношениям обобщенного закона Гука (1.1), преобразуем их с учетом того, что  $\sigma_{rr} = \sigma_{r\theta} = \sigma_{rz} = 0$  и  $x = a\tau$ , где  $a$  — радиус срединной поверхности рассматриваемой цилиндрической оболочки. Получим следующие соотношения:

$$\sigma_{\theta\theta} = g_{11}e_{\theta\theta} + g_{12}e_{zz} + g_{13}\sigma_{\theta z},$$

$$\sigma_{zz} = g_{12}e_{\theta\theta} + g_{22}e_{zz} + g_{23}e_{\theta z},$$

$$\sigma_{\theta z} = g_{13}\sigma_{\theta\theta} + g_{23}\sigma_{zz} + g_{33}\sigma_{\theta z}.$$

Здесь

$$g_{11} = \frac{1}{g_0} [E_2 + x^2(\nu_{32}E_2 - 4G_{23} + 4G_{23}\nu_{23}\nu_{32}) + x^4E_3],$$

$$g_{12} = \frac{1}{g_0} [\nu_{32}E_2 + x^2(E_2 + E_3 + 4G_{23} + 4G_{23}\nu_{23}\nu_{32}) + x^4\nu_{23}E_3],$$

$$g_{22} = \frac{1}{g_0} [E_3 + x^2(E_2 + E_3 + 4G_{23} + 4G_{23}\nu_{23}\nu_{32}) + x^4E_2],$$

$$g_{13} = \frac{1}{g_0} x [2G_{23}(1 - \nu_{32}\nu_{23}) - E_2(1 - \nu_{32}) + x^2(E_3 - \nu_{23}E_2 - 2G_{23} + 2G_{23}\nu_{23}\nu_{32})],$$

$$g_{23} = \frac{1}{g_0} x [-2G_{23}(1 - \nu_{23}) - E_3(1 - \nu_{23}) + x^2(-E_2 - \nu_{23}E_3 - 2G_{23} + 2G_{23}\nu_{23}\nu_{32})],$$

$$g_{33} = \frac{1}{g_0} x [(1 - \nu_{32}\nu_{23})G_{32}(1 - x^2)^2 + x^2(E_2(1 - \nu_{23}) + E_3(1 - \nu_{23}) - 2G_{23}(1 - \nu_{23}\nu_{32}))],$$

$$g_0 = (1 + x^2)^4(1 - \nu_{23}\nu_{32}).$$

Упрощения на основе гипотез единой нормали в осесимметричном случае приводят к соотношениям

$$e_{\theta\theta} = \frac{u_r^0}{a}, \quad e_{zz} = \frac{\partial u_z^0}{\partial z} - y \frac{\partial^2 u_z^0}{\partial z^2}, \quad 2e_{z\theta} = \frac{\partial u_\theta^0}{\partial z},$$

где  $u_r^0, u_\theta^0, u_z^0$  — смещения точек срединной поверхности;  $-h/2 \leq y \leq h/2$ ,  $h = (r_2 - r_1)/2$  — толщина оболочки.

В принятых выше обозначениях выражения для усилий и моментов можно записать в виде

$$T_i = h g_{ij} e_j^0, \quad M_i = h^3 g_{ij} e_j^1 / 12,$$

причем

$$e_1^0 = \frac{u_r^0}{a}, \quad e_2^0 = \frac{\partial u_z^0}{\partial z}, \quad 2e_3^0 = \frac{\partial u_\theta^0}{\partial z},$$

$$e_1^1 = 0, \quad e_2^1 = \frac{\partial^2 u_z^0}{\partial z^2},$$

$$2e_3^1 = -\frac{1}{a} \frac{\partial u_\theta^0}{\partial z},$$

$$T_1 = T_{\theta\theta}, \quad T_2 = T_{zz}, \quad T_3 = T_{\theta z},$$

$$M_1 = M_{\theta\theta}, \quad M_2 = M_{zz}, \quad M_3 = M_{\theta z}.$$

С учетом предварительных напряжений уравнения движения имеют вид

$$\frac{\partial^2 M_1}{\partial z^2} - \frac{T_1}{a} + T_\theta^0 \frac{u_r^0}{a^2} + T_z^0 \frac{\partial^2 u_r^0}{\partial z^2} - h\rho_0 \frac{\partial^2 u_r^0}{\partial t^2} + q_r = 0,$$

$$\frac{\partial T_2}{\partial z} - h\rho_0 \frac{\partial^2 u_z^0}{\partial t^2} + q_z = 0, \quad (2.1)$$

$$\frac{\partial^2 M_3}{\partial z^2} - \frac{\partial T_3}{\partial z} + \frac{T_{\theta z}^0}{a} \frac{\partial u_r^0}{\partial z} - h\rho_0 \frac{\partial^2 u_\theta^0}{\partial t^2} + q_\theta = 0.$$

Здесь  $\rho_0$  — плотность материала оболочки;  $T_r^0, T_\theta^0, T_z^0$  — усилия предварительно напряженного состояния.

### 3. Распространение гармонических волн в цилиндрической оболочке

Для исследования распространения гармонических волн решение будем отыскивать в виде

$$u_j^0 = U_j e^{i(k\zeta - \omega t)}, \quad (3.1)$$

$$\zeta = z/a,$$

( $U_j$  произвольные постоянные,  $j = 1, 2, 3$  отвечают  $r, \theta, z$ ).

Полагая  $q_r = q_\theta = q_z = 0$  в (2.1) и подставляя в них (3.1), получим однородную алгебраическую систему

$$l_{ij} U_j = 0.$$

Обращение в нуль определителя этой системы

$$D(k, \omega) = 0$$

дает дисперсионное уравнение, корни которого  $k(\omega)$  определяют множество нормальных волн (мод). При  $T_{\theta\theta}^0 = T_{\theta z}^0 = T_{zz}^0 = 0$  в низкочастотной области всегда существуют четыре вещественных корня  $\pm k_1, \pm k_2$ , которые для достаточно тонких оболочек можно найти на основе безмоментной теории. Этим корням соответствуют однородные незатухающие моды.

Чтобы получить представление об особенностях волновых процессов в низкочастотной области при винтовой анизотропии на основе безмоментной теории, была проведена серия расчетов для оболочки с фиксированными параметрами.

Часть из перечисленных параметров ( $E_2, a, h$ ) были взяты для восходящей аорты [5], остальные выбирались из дополнительной информации о механической структуре артериальных сосудов.

В первой серии расчетов исследовалась зависимость фазовых скоростей  $c_s = a\omega/k_s$  ( $s = 1, 2$ ) от параметра  $\alpha$  ( $\text{tg } \alpha = x = \tau a$ ) при фиксированных значениях частоты  $\omega_n = 4\pi n$ ,  $n = 1, \dots, 10$ . Следует отметить, что «степень» винтовой анизотропии определяется величинами коэффициентов  $g_{13}, g_{23}$ , которые в свою очередь определяются геометрическим параметром  $\alpha \in [0, 90^\circ]$  и локальной анизотропией материала (для изотропного материала  $g_{13} = g_{23} = 0$  при любых значениях параметра  $\alpha \in [0, 90^\circ]$ ).

В качестве примера на рис. 1 приводятся зависимости фазовых скоростей  $c_{sq}$  ( $q = 1, 2$ ) при  $\omega_1 = 4\pi$  для двух оболочек, у которых параметры  $E_2 = 4, 905 \cdot 10^5$  кН/м<sup>2</sup>,  $E_3 = 0, 833E_2$ ,

$\nu_{32} = 0, 45$ ,  $a = 7, 3 \cdot 10^{-3}$  одинаковые, а модуль сдвига  $G_{32} = E_2/6$  для  $q = 1$  и  $G_{32} = E_2/4$  для  $q = 2$ .

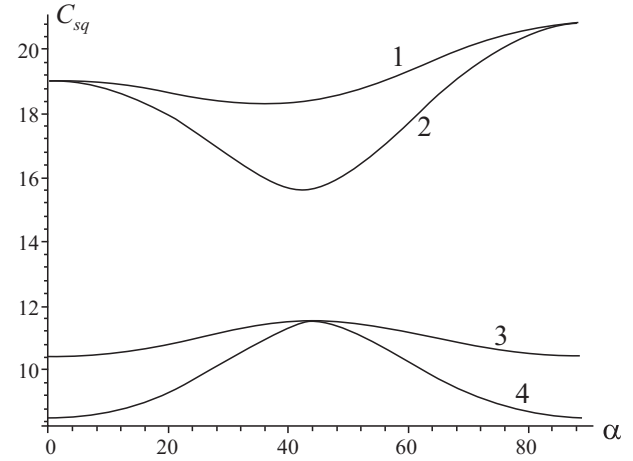


Рис. 1

Кривые 1, 2 отражают зависимости от  $\alpha$  нормированных фазовых скоростей  $c_{11}^0, c_{12}^0$  «квазипродольных» мод, т. е. таких, у которых при  $\alpha = 0, \alpha = 90^\circ$  отсутствует крутильная деформация. Кривые 3, 4 описывают поведение нормированных фазовых скоростей  $c_{21}^0, c_{22}^0$  «квазикрутильных мод», т. е. таких, у которых при  $\alpha = 0, \alpha = 90^\circ$  отсутствует продольная и радиальная деформации. Здесь и ниже  $c_{sq}^0 = c_{sq}/c_0$ , где

$$c_0^2 = \frac{hE_2}{2a\rho_0}.$$

Для того, чтобы получить представление об эффекте кручения на «квазипродольной» моде и эффекте продольно-радиальных колебаний на «квазикрутильной» моде, численно исследовались зависимости от  $\alpha$  амплитудных коэффициентов

$$u_{jsq} = U_{jsq}/U_{sq}, \quad U_{sq} = \sqrt{U_{1sq}^2 + U_{2sq}^2 + U_{3sq}^2}.$$

На рис. 2 представлены зависимости  $u_{j1q}(\alpha)$ , отвечающие фазовым скоростям  $c_{1q}$ . Кривые 1–4 отражают поведение  $u_{z11}(\alpha), u_{\theta11}(\alpha), u_{z12}(\alpha), u_{\theta12}(\alpha)$ , соответственно. На рис. 3 отражены аналогичные зависимости  $u_{j2q}(\alpha)$ , отвечающие фазовым скоростям  $c_{2q}$ . Кривые 1–4 иллюстрируют поведение  $u_{z21}(\alpha), u_{\theta21}(\alpha), u_{z22}(\alpha), u_{\theta22}(\alpha)$  соответственно.

$\omega$	$c_{11}^0$	$c_{21}^0$
$4\pi$	18,47	11,50
$8\pi$	18,63	11,25
$12\pi, 16\pi, 20\pi, 24\pi, 28\pi$	18,06	11,25

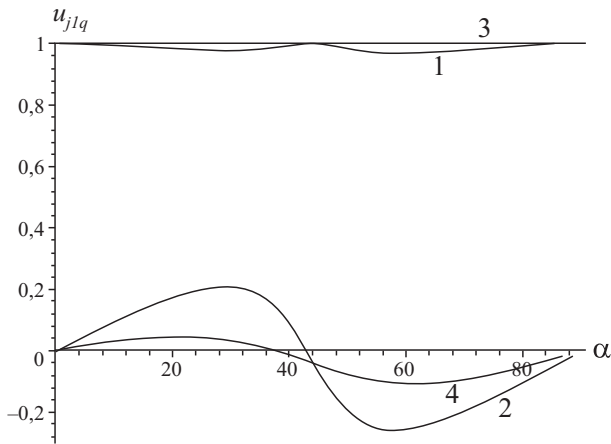


Рис. 2

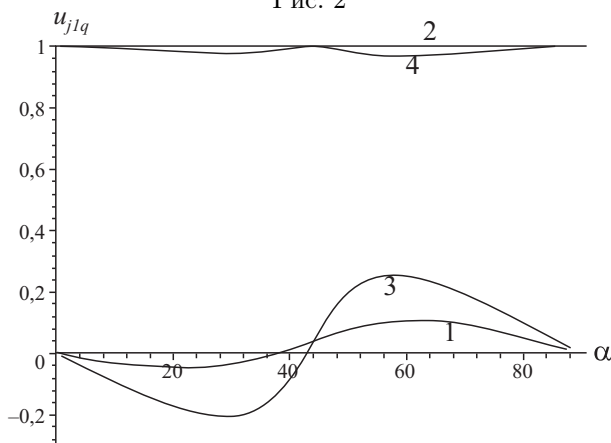


Рис. 3

Очевидно, что коэффициенты  $u_{r11}(\alpha)$ ,  $u_{r12}(\alpha)$  на два, три порядка меньше  $u_{\theta11}(\alpha)$ ,  $u_{\theta12}(\alpha)$ , и имеет место смена знаков фаз амплитудных коэффициентов  $u_{\theta1q}(\alpha)$  и  $u_{z2q}(\alpha)$ . При  $0 < \alpha < \alpha_0$  знаки фаз  $u_{\theta1q}(\alpha)$  и  $u_{z1q}(\alpha)$  противоположны, что соответствует эффекту «раскручивания», при  $\alpha_0 < \alpha < 90^\circ$  знаки фаз  $u_{\theta1q}(\alpha)$  и  $u_{z2q}(\alpha)$  совпадают, что соответствует эффекту «закручивания» при растяжении. В первом случае  $\alpha_0 \approx 43^\circ$ , во втором  $\alpha_0 \approx 37^\circ$ . Кроме того, сравнение кривых 2

и 4 на рис. 3 показывает, что максимальные значения  $|u_{\theta1}|$  существенно зависят от степени локальной анизотропии. Изменение частоты в диапазоне  $\omega = 4\pi k$ ,  $k = 1, \dots, 8$  практически не влияет на поведение всех кривых.

Во второй серии расчетов исследовались зависимости фазовых скоростей  $c_{s1}$  от частоты  $\omega$  при фиксированных значениях параметра  $\alpha = 45^\circ$ . Некоторые результаты этих расчетов приведены в таблице.

В выбранном диапазоне частот обе фазовые скорости остаются постоянными (таблица).

Из проведенного исследования вытекает, что основной особенностью волновых процессов в цилиндрической оболочке является взаимодействие продольных и крутильных колебаний, а качественный и количественный характер этого взаимодействия определяется, главным образом, степенью анизотропии механических свойств и углом наклона винтовых спиралей к оси цилиндра.

### Литература

1. Устинов Ю. А. Задачи Сен-Венана для стержня с винтовой анизотропией // ДАН. 2001. Т. 380. С. 770–773.
2. Устинов Ю. А. Решение задачи Сен-Венана для цилиндра с винтовой анизотропией // ПММ. 2003. Т. 67. В. 1. С. 89–98.
3. Устинов Ю. А. Задачи Сен-Венана для псевдоцилиндров. М.: Наука, 2003. 128 с.
4. Устинов Ю. А. Некоторые задачи для упругих цилиндрических тел с винтовой анизотропией // Успехи механики. 2005. Т. 2. №4. С. 37–65.
5. Педли Т. Гидродинамика крупных кровеносных сосудов М.: Мир, 1983. 400 с.
6. Лехницкий С. Г. Теория упругости анизотропного тела. М.: Наука, 1973. 300 с.